

(19) 日本国特許庁(JP)

(12) 特許公報(B2)

(11) 特許番号

特許第4253657号  
(P4253657)

(45) 発行日 平成21年4月15日(2009.4.15)

(24) 登録日 平成21年1月30日(2009.1.30)

(51) Int.Cl. F I  
**HO4L 9/08 (2006.01)** HO4L 9/00 6O1C  
 HO4L 9/00 6O1E

請求項の数 12 (全 25 頁)

(21) 出願番号	特願2005-513582 (P2005-513582)	(73) 特許権者	503027931 学校法人同志社 京都府京都市上京区今出川通烏丸東入玄武町601
(86) (22) 出願日	平成16年2月25日(2004.2.25)	(73) 特許権者	393031586 株式会社国際電気通信基礎技術研究所 京都府相楽郡精華町光台二丁目2番地2
(86) 国際出願番号	PCT/JP2004/002228	(74) 代理人	100112715 弁理士 松山 隆夫
(87) 国際公開番号	W02005/025126	(72) 発明者	笹岡 秀一 京都府京田辺市多々羅都谷1-3 同志社大学内
(87) 国際公開日	平成17年3月17日(2005.3.17)	(72) 発明者	青野 智之 京都府相楽郡精華町光台二丁目2番地2 株式会社国際電気通信基礎技術研究所内 最終頁に続く
審査請求日	平成17年9月14日(2005.9.14)		
(31) 優先権主張番号	特願2003-312156 (P2003-312156)		
(32) 優先日	平成15年9月4日(2003.9.4)		
(33) 優先権主張国	日本国(JP)		
(31) 優先権主張番号	特願2004-533 (P2004-533)		
(32) 優先日	平成16年1月5日(2004.1.5)		
(33) 優先権主張国	日本国(JP)		

(54) 【発明の名称】 無線通信システム

(57) 【特許請求の範囲】

【請求項1】

指向性を電気的に切換え可能な第1のアンテナ(20)と、  
 第2のアンテナ(11)と、  
 前記第1及び第2のアンテナ(20, 11)を介して無線伝送路により電波を相互に送受信する第1及び第2の無線装置(30, 10)とを備え、  
 前記第1の無線装置(30)は、前記第2の無線装置における受信信号強度を複数の強度に変化させるために前記第1のアンテナ(20)の指向性を複数個の指向性に切換えることにより前記第2の無線装置(10)との間で伝搬する電波の成分に変化を生じさせたときに前記第2の無線装置(10)から受信した複数の電波に基づいて前記複数の電波の強度プロファイルを示す第1の受信信号プロファイルを生成し、その生成した第1の受信信号プロファイルに基づいて第1の秘密鍵(Ks2)を生成し、  
 前記第2の無線装置(10)は、前記第1の無線装置における受信信号強度を複数の強度に変化させるために前記第1のアンテナ(20)の指向性を複数個の指向性に切換えることにより前記第1の無線装置(30)との間で伝搬する電波の成分に変化を生じさせたときに前記第1の無線装置(30)から受信した複数の電波に基づいて前記複数の電波の強度プロファイルを示す第2の受信信号プロファイルを生成し、その生成した第2の受信信号プロファイルに基づいて前記第1の秘密鍵(Ks2)と同じ第2の秘密鍵(Ks1)を生成する、無線通信システム。

【請求項2】

前記第 1 及び第 2 の受信信号プロファイルの各々は、前記複数個の指向性に対応した複数の強度からなり、

前記第 1 及び第 2 の無線装置 ( 3 0 , 1 0 ) は、前記複数の強度を多値化してそれぞれ前記第 1 及び第 2 の秘密鍵 ( K s 2 , K s 1 ) を生成する、請求の範囲第 1 項に記載の無線通信システム。

【請求項 3】

前記第 1 及び第 2 の無線装置 ( 3 0 , 1 0 ) は、時分割復信方式により前記複数の電波を送受信する、請求の範囲第 1 項に記載の無線通信システム。

【請求項 4】

前記第 1 の無線装置 ( 3 0 ) は、前記生成した第 1 の秘密鍵 ( K s 2 ) が前記第 2 の秘密鍵 ( K s 1 ) に一致することを確認する、請求の範囲第 1 項に記載の無線通信システム。

10

【請求項 5】

指向性を電氣的に切換え可能な第 1 のアンテナ ( 2 0 ) と、

第 2 のアンテナ ( 1 1 ) と、

前記第 1 及び第 2 のアンテナ ( 2 0 , 1 1 ) を介して無線伝送路により電波を相互に送受信する第 1 及び第 2 の無線装置 ( 3 0 A , 1 0 A ) とを備え、

前記第 1 の無線装置 ( 3 0 A ) は、前記第 2 の無線装置における受信信号強度を複数の強度に変化させるために前記第 1 のアンテナ ( 2 0 ) の指向性を複数個の指向性に切換えることにより前記第 2 の無線装置 ( 1 0 A ) との間で伝搬する電波の成分に変化を生じさせたときに前記第 2 の無線装置 ( 1 0 A ) が所定の通信プロトコルに従って送信した複数のデータに対応する複数の電波を受信し、その受信した複数の電波に基づいて前記複数の電波の強度プロファイルを示す第 1 の受信信号プロファイルを生成し、その生成した第 1 の受信信号プロファイルに基づいて第 1 の秘密鍵 ( K s 2 ) を生成し、

20

前記第 2 の無線装置 ( 1 0 A ) は、前記第 1 の無線装置における受信信号強度を複数の強度に変化させるために前記第 1 のアンテナ ( 2 0 ) の指向性を複数個の指向性に切換えることにより前記第 1 の無線装置 ( 3 0 A ) との間で伝搬する電波の成分に変化を生じさせたときに前記第 1 の無線装置 ( 3 0 A ) が前記所定の通信プロトコルに従って送信した複数のデータに対応する複数の電波を受信し、その受信した複数の電波に基づいて前記複数の電波の強度プロファイルを示す第 2 の受信信号プロファイルを生成し、その生成した第 2 の受信信号プロファイルに基づいて前記第 1 の秘密鍵 ( K s 2 ) と同じ第 2 の秘密鍵 ( K s 1 ) を生成する、無線通信システム。

30

【請求項 6】

前記第 1 の無線装置 ( 3 0 A ) は、前記第 1 のアンテナ ( 2 0 ) が無指向性に制御されたときに前記第 2 の無線装置 ( 1 0 A ) との間で前記無線伝送路を確立し、前記無線伝送路が確立した後、前記第 1 のアンテナ ( 2 0 ) の指向性を前記複数個に変えながら前記第 2 の無線装置 ( 1 0 A ) との間で前記複数のデータを送受信する、請求の範囲第 5 項に記載の無線通信システム。

【請求項 7】

前記第 1 の無線装置 ( 3 0 A ) は、前記第 2 の無線装置 ( 1 0 A ) との間における前記各データの送受信において、前記第 1 のアンテナ ( 2 0 ) の指向性を更新して前記第 2 の無線装置 ( 1 0 A ) から前記データを受信し、前記更新した前記第 1 のアンテナ ( 2 0 ) の指向性を維持して前記受信したデータを前記第 2 の無線装置 ( 1 0 A ) へ送信する、請求の範囲第 6 項に記載の無線通信システム。

40

【請求項 8】

前記所定の通信プロトコルは、複数の階層からなり、

前記複数のデータは、前記複数の階層のうち、前記データを前記電気信号に変換する階層におけるデータフォーマットに含まれ、

前記データを前記電気信号に変換する階層は、複数の通信プロトコルに共通な階層である、請求の範囲第 6 項に記載の無線通信システム。

50

## 【請求項 9】

前記複数のデータの各々は、前記第 1 および第 2 の無線装置 (30A, 10A) により受信された電波の強度を検出する区間と、前記第 1 のアンテナ (20) の指向性を変更する区間とからなる、請求の範囲第 5 項に記載の無線通信システム。

## 【請求項 10】

前記第 1 の無線装置 (30, 30A) は、前記生成した第 1 の秘密鍵 (Ks2) が前記第 2 の秘密鍵 (Ks1) に不一致であるとき、前記第 1 の秘密鍵 (Ks2) を前記第 2 の秘密鍵 (Ks1) に一致させる、請求の範囲第 1 項から請求の範囲第 9 項のいずれか 1 項に記載の無線通信システム。

## 【請求項 11】

前記第 1 のアンテナ (20) は、盗聴者の端末 (50) に近接して配置された第 1 の無線装置 (30, 30A) に設置される、請求の範囲第 1 項から請求の範囲第 9 項のいずれか 1 項に記載の無線通信システム。

## 【請求項 12】

前記第 1 及び第 2 の無線装置 (30, 30A, 10, 10A) は、前記第 1 及び第 2 の秘密鍵 (Ks2, Ks1) を用いてデータを暗号及び復号して相互に通信する、請求の範囲第 1 項から請求の範囲第 9 項のいずれか 1 項に記載の無線通信システム。

## 【発明の詳細な説明】

## 【技術分野】

この発明は、無線通信システムに関し、特に、暗号化した情報を無線により通信する無線通信システムに関するものである。

## 【背景技術】

最近、情報化社会の発展に伴い情報通信が益々重要になるとともに、情報の盗聴または不正利用がより深刻な問題となっている。このような情報の盗聴を防止するために従来から情報を暗号化して送信することが行なわれている。

情報を暗号化して端末間で通信を行なう方式として公開鍵暗号方式と秘密鍵暗号方式とがある。公開鍵暗号方式は、安全性が高いが、大容量のデータの暗号化には向かない。

一方、秘密鍵暗号方式は、処理が比較的簡単であり、大容量のデータの高速度暗号化も可能であるが、秘密鍵を通信の相手方に送信する必要がある。また、秘密鍵暗号方式は、同一の秘密鍵を使用し続けると、暗号解読の攻撃を受けやすく、安全性が損なわれる可能性がある。

そこで、秘密鍵を相手方に送信せずに秘密鍵を共有する方法として、2つの端末間の伝送路の特性を測定し、その測定した特性に基づいて各端末で秘密鍵を生成する方法が提案されている(堀池 元樹、笹岡 秀一、「陸上移動通信路の不規則変動に基づく秘密鍵共有方式」、信学技報、社団法人 電子情報通信学会、2002年10月、TECHNICAL REPORT OF IEICE RCS2002-173, p. 7-12)。

この方法は、2つの端末間でデータを送受信したときの遅延プロファイルを各端末で測定し、その測定した遅延プロファイルをアナログ信号からデジタル信号に変換して各端末で秘密鍵を生成する方法である。即ち、伝送路を伝搬する電波は可逆性を示すために、一方の端末から他方の端末へデータを送信したときの遅延プロファイルは、他方の端末から一方の端末へ同じデータを送信したときの遅延プロファイルと同じになる。従って、一方の端末で測定した遅延プロファイルに基づいて生成された秘密鍵は、他方の端末で測定した遅延プロファイルに基づいて作成された秘密鍵と同じになる。

このように、伝送路特性を用いて秘密鍵を生成する方法は、同じデータを2つの端末間で相互に送信するだけで同じ秘密鍵を共有することができる。

しかし、2つの端末間で送信されるデータを盗聴者が各端末の近傍で傍受して遅延プロファイルを測定すれば、盗聴者は、各端末で測定した遅延プロファイルに近い遅延プロファイルを取得することができる。その結果、秘密鍵が解読される可能性がある。

それゆえに、この発明の目的は、秘密鍵の盗聴を抑制可能な無線通信システムを提供することである。

10

20

30

40

50

## 【発明の開示】

この発明によれば、無線通信システムは、第1及び第2のアンテナと、第1及び第2の無線装置とを備える。第1のアンテナは、指向性を電氣的に切換え可能である。第1及び第2の無線装置は、第1及び第2のアンテナを介して無線伝送路により電波を相互に送受信する。そして、第1の無線装置は、第1のアンテナの指向性が所定のパターンにより複数個に変えられたときに第2の無線装置から受信した複数の電波に基づいて複数の電波の強度プロファイルを示す第1の受信信号プロファイルを生成し、その生成した第1の受信信号プロファイルに基づいて第1の秘密鍵を生成する。また、第2の無線装置は、第1のアンテナの指向性が所定のパターンにより複数個に変えられたときに第1の無線装置から受信した複数の電波に基づいて複数の電波の強度プロファイルを示す第2の受信信号プロファイルを生成し、その生成した第2の受信信号プロファイルに基づいて第1の秘密鍵と同じ第2の秘密鍵を生成する。

10

好ましくは、第1及び第2の受信信号プロファイルの各々は、複数個の指向性に対応した複数の強度からなる。第1及び第2の無線装置は、複数の強度を多値化してそれぞれ第1及び第2の秘密鍵を生成する。

好ましくは、第1及び第2の無線装置は、時分割復信方式により複数の電波を送受信する。

好ましくは、第1の無線装置は、生成した第1の秘密鍵が第2の秘密鍵に一致することを確認する。

また、この発明によれば、無線通信システムは、第1および第2のアンテナと、第1および第2の無線装置とを備える。第1のアンテナは、指向性を電氣的に切換え可能なアンテナである。第1および第2の無線装置は、第1及び第2のアンテナを介して無線伝送路により電波を相互に送受信する。そして、第1の無線装置は、第1のアンテナの指向性が所定のパターンにより複数個に変えられたときに第2の無線装置が所定の通信プロトコルに従って送信した複数のデータに対応する複数の電波を受信し、その受信した複数の電波に基づいて複数の電波の強度プロファイルを示す第1の受信信号プロファイルを生成し、その生成した第1の受信信号プロファイルに基づいて第1の秘密鍵を生成する。また、第2の無線装置は、第1のアンテナの指向性が所定のパターンにより複数個に変えられたときに第1の無線装置が所定の通信プロトコルに従って送信した複数のデータに対応する複数の電波を受信し、その受信した複数の電波に基づいて複数の電波の強度プロファイルを示す第2の受信信号プロファイルを生成し、その生成した第2の受信信号プロファイルに基づいて第1の秘密鍵と同じ第2の秘密鍵を生成する。

20

30

好ましくは、第1の無線装置は、第1のアンテナが無指向性に制御されたときに第2の無線装置との間で無線伝送路を確立し、無線伝送路が確立した後、第1のアンテナの指向性を複数個に変えながら第2の無線装置との間で複数のデータを送受信する。

好ましくは、第1の無線装置は、第2の無線装置との間における各データの送受信において、第1のアンテナの指向性を更新して第2の無線装置からデータを受信し、更新した第1のアンテナの指向性を維持して受信したデータを第2の無線装置へ送信する。

好ましくは、所定の通信プロトコルは、複数の階層からなる。複数のデータは、複数の階層のうち、データを電気信号に変換する階層におけるデータフォーマットに含まれる。そして、データを電気信号に変換する階層は、複数の通信プロトコルに共通な階層である。

40

好ましくは、複数のデータの各々は、第1および第2の無線装置により受信された電波の強度を検出する区間と、第1のアンテナの指向性を変更する区間とからなる。

好ましくは、第1の無線装置は、生成した第1の秘密鍵が第2の秘密鍵に不一致であるとき、第1の秘密鍵を第2の秘密鍵に一致させる。

好ましくは、第1のアンテナは、盗聴者の端末に近接して配置された第1の無線装置に設置される。

好ましくは、第1及び第2の無線装置は、第1及び第2の秘密鍵を用いてデータを暗号及び復号して相互に通信する。

50

この発明による無線通信システムにおいては、指向性を電氣的に切換え可能な第1のアンテナを介して2つの無線装置間で所定のデータが送受信される。そして、第1のアンテナの指向性を複数個に変えたときに検出される複数の電波の強度プロファイルを示す受信信号プロファイルが2つの無線装置において生成され、その生成された各受信信号プロファイルに基づいて2つの無線装置において秘密鍵が作成される。この場合、各無線装置において生成される受信信号プロファイルは、2つの無線装置間に形成される伝送路に固有である。即ち、2つの無線装置間で送受信される複数の電波を傍受して受信信号プロファイルを生成しても、その生成した受信信号プロファイルは、2つの端末装置で生成される受信信号プロファイルと異なる。

従って、この発明によれば、2つの無線装置において作成される秘密鍵の盗聴を抑制できる。

10

また、この発明による無線通信システムにおいては、指向性を電氣的に切換え可能なアンテナを介して2つの無線装置間で所定のデータが所定の通信プロトコルに従って送受信される。そして、このアンテナの指向性を複数個に変えたときに検出される複数の電波の強度プロファイルを示す受信信号プロファイルが2つの無線装置において生成され、その生成された各受信信号プロファイルに基づいて2つの無線装置において秘密鍵が作成される。この場合、各無線装置において生成される受信信号プロファイルは、2つの無線装置間に形成される伝送路に固有である。即ち、2つの無線装置間で送受信される複数の電波を傍受して受信信号プロファイルを生成しても、その生成した受信信号プロファイルは、2つの端末装置で生成される受信信号プロファイルと異なる。

20

従って、この発明によれば、2つの無線装置において作成される秘密鍵の盗聴を抑制できる。また、2つの無線装置において作成される秘密鍵を生成するためのデータを所定の通信プロトコルに従って送受信できる。

#### 【図面の簡単な説明】

図1は、この発明の実施の形態1による無線通信システムの概略図である。

図2は、図1に示す一方の無線装置の概略ブロック図である。

図3は、図1に示す他方の無線装置の概略ブロック図である。

図4は、図3に示す指向性設定部の概略ブロック図である。

図5は、図2及び図3に示す鍵一致確認部の概略ブロック図である。

図6は、図2及び図3に示す鍵一致化部の概略ブロック図である。

30

図7は、受信信号プロファイルRSSIの概念図である。

図8は、図1に示す2つの無線装置間で通信を行なう動作を説明するためのフローチャートである。

図9は、実施の形態2による無線通信システムの概略図である。

図10は、図9に示す一方の無線装置の内部構成を示す概略ブロック図である。

図11は、図9に示す他方の無線装置の内部構成を示す概略ブロック図である。

図12は、図11に示す指向性設定部の機能ブロック図である。

図13は、所定の通信プロトコルであるIEEE 802.11b(またはIEEE 802.11g)の物理層およびMAC層のフォーマットを示す図である。

図14は、2つの無線装置間でデータを送受信する通常の方法の概念図である。

40

図15は、2つの無線装置間におけるデータの再送の概念図である。

図16は、実施の形態2において、2つの無線装置間でデータを送受信する方法の概念図である。

図17は、図9に示す2つの無線装置間で通信を行なう動作を説明するためのフローチャートである。

#### 【発明を実施するための最良の形態】

本発明の実施の形態について図面を参照しながら詳細に説明する。なお、図中同一または相当部分には同一符号を付してその説明は繰返さない。

##### [実施の形態1]

図1は、この発明の実施の形態1による無線通信システムの概略図である。無線通信シ

50

ステム 100 は、無線装置 10、30 と、アンテナ 11 と、アレーアンテナ 20 とを備える。無線装置 10 は、例えば、ユーザの移動体通信端末である。また、無線装置 30 は、例えば、無線アクセスポイントである。

アンテナ 11 は、無線装置 10 に装着される。そして、アンテナ 11 は、全方位性のアンテナである。アレーアンテナ 20 は、アンテナ素子 21 ~ 27 を備える。アンテナ素子 24 は、給電素子であり、アンテナ素子 21 ~ 23、25 ~ 27 は、無給電素子である。そして、アンテナ素子 24 は、アンテナ素子 21 ~ 23、25 ~ 27 によって取り囲まれている。無給電素子であるアンテナ素子 21 ~ 23、25 ~ 27 に装荷された可変容量素子であるバラクタダイオードに印加する直流電圧を制御することにより、アレーアンテナ 20 は、適応ビーム形成が可能である。

10

即ち、アレーアンテナ 20 は、無線装置 30 に含まれるバラクタダイオード（図示せず）に印加する直流電圧を変えることによって指向性を変えられる。従って、アレーアンテナ 20 は、電氣的に指向性を切換え可能なアンテナである。そして、アレーアンテナ 20 は、無線装置 30 に装着される。

無線装置 10 と無線装置 30 との間で通信が行われる場合、電波は、無線装置 10 のアンテナ 11 と無線装置 30 のアレーアンテナ 20 との間を直接伝搬したり、中間物 40 による影響を受けて伝搬する。中間物 40 としては、反射物及び障害物が想定される。中間物 40 が反射物である場合、無線装置 10 のアンテナ 11 または無線装置 30 のアレーアンテナ 20 から出射した電波は、中間物 40 によって反射されて無線装置 30 のアレーアンテナ 20 または無線装置 10 のアンテナ 11 へ伝搬する。また、中間物 40 が障害物である場合、無線装置 10 のアンテナ 11 または無線装置 30 のアレーアンテナ 20 から出射した電波は、中間物 40 によって回折されて無線装置 30 のアレーアンテナ 20 または無線装置 10 のアンテナ 11 へ伝搬する。

20

このように、電波は、無線装置 10 のアンテナ 11 と無線装置 30 のアレーアンテナ 20 との間を直接伝搬したり、中間物 40 による反射を受けて反射波として伝搬したり、中間物 40 による回折を受けて回折波として伝搬したりする。そして、電波は、無線装置 10 のアンテナ 11 または無線装置 30 のアレーアンテナ 20 から無線装置 30 のアレーアンテナ 20 または無線装置 10 のアンテナ 11 へ伝搬する場合、直接伝搬成分、反射波成分及び回折波成分が混在しており、無線装置 10 のアンテナ 11 または無線装置 30 のアレーアンテナ 20 から無線装置 30 のアレーアンテナ 20 または無線装置 10 のアンテナ 11 へ伝搬した電波がどのような成分により構成されるかによって無線装置 10 と無線装置 30 との間の伝送路の特性が決定される。

30

この発明においては、無線装置 10 と無線装置 30 との間で通信が行なわれる場合、アレーアンテナ 20 の指向性を複数個に変えて時分割復信 (TDD: Time Division Duplex) 等の同一周波数で送受信する方式で所定のデータが無線装置 10、30 間で送受信される。そして、無線装置 10、30 は、アレーアンテナ 20 の指向性を複数個に変えたときの複数の電波の強度を示す受信信号プロファイル RSSI を生成し、その生成した受信信号プロファイル RSSI に基づいて秘密鍵を作成する。

秘密鍵が無線装置 10、30 において生成されると、無線装置 10、30 は、生成した秘密鍵により情報を暗号化して相手方へ送信し、相手方から受信した暗号化情報を復号して情報を取得する。

40

図 2 は、図 1 に示す一方の無線装置 10 の概略ブロック図である。無線装置 10 は、信号発生部 110 と、送信処理部 120 と、アンテナ部 130 と、受信処理部 140 と、プロファイル生成部 150 と、鍵作成部 160 と、鍵一致確認部 170 と、鍵記憶部 180 と、鍵一致化部 190 と、暗号部 200 と、復号部 210 とを含む。

信号発生部 110 は、秘密鍵を生成するときに無線装置 30 へ送信するための所定の信号を生成し、その生成した所定の信号を送信処理部 120 へ出力する。送信処理部 120 は、変調、周波数変換、多元接続及び送信信号の増幅等の送信系の処理を行なう。アンテナ部 130 は、図 1 に示すアンテナ 11 からなり、送信処理部 120 からの信号を無線装置 30 へ送信し、無線装置 30 からの信号を受信して受信処理部 140 またはプロファイ

50

ル生成部 150 へ供給する。

受信処理部 140 は、受信信号の増幅、多元接続、周波数変換及び復調等の受信系の処理を行なう。そして、受信処理部 140 は、受信処理を行なった信号を必要に応じて鍵一致確認部 170、鍵一致化部 190 及び復号部 210 へ出力する。

プロファイル生成部 150 は、アレーアンテナ 20 の指向性を複数個に変えたときの複数の電波をアンテナ部 130 から順次受け、その受けた複数の電波の強度を検出する。そして、プロファイル生成部 150 は、検出した複数の強度からなる受信信号プロファイル RSSI を生成して鍵作成部 160 へ出力する。

鍵作成部 160 は、プロファイル生成部 150 からの受信信号プロファイル RSSI に基づいて秘密鍵 Ks1 を作成する。そして、鍵作成部 160 は、作成した秘密鍵 Ks1 を鍵一致確認部 170 及び鍵一致化部 190 へ出力する。

鍵一致確認部 170 は、所定の信号を送信処理部 120、アンテナ部 130 及び受信処理部 140 を介して無線装置 30 と送受信し、鍵作成部 160 によって作成された秘密鍵 Ks1 が無線装置 30 において作成された秘密鍵 Ks2 に一致するか否かを後述する方法によって確認する。そして、鍵一致確認部 170 は、秘密鍵 Ks1 が秘密鍵 Ks2 に一致すると確認したとき、秘密鍵 Ks1 を鍵記憶部 180 に記憶する。また、鍵一致確認部 170 は、秘密鍵 Ks1 が秘密鍵 Ks2 に不一致であることを確認したとき、不一致信号 NMTH を生成して鍵一致化部 190 へ出力する。

鍵記憶部 180 は、鍵一致確認部 170 及び鍵一致化部 190 からの秘密鍵 Ks1 を記憶する。また、鍵記憶部 180 は、記憶した秘密鍵 Ks1 を暗号部 200 及び復号部 210 へ出力する。なお、鍵記憶部 180 は、秘密鍵 Ks1 を一時的、例えば、無線装置 30 との通信の間だけ記憶するようにしてもよい。

鍵一致化部 190 は、鍵一致確認部 170 から不一致信号 NMTH を受けると、後述する方法によって秘密鍵 Ks1 を秘密鍵 Ks2 に一致させる。そして、鍵一致化部 190 は、一致させた秘密鍵が秘密鍵 Ks2 に一致することを鍵一致確認部 170 における方法と同じ方法によって確認する。

暗号部 200 は、送信データを鍵記憶部 180 に記憶された秘密鍵 Ks1 によって暗号して送信処理部 120 へ出力する。復号部 210 は、受信処理部 140 からの信号を鍵記憶部 180 からの秘密鍵 Ks1 によって復号して受信データを生成する。

図 3 は、図 1 に示す他方の無線装置 30 の概略ブロック図である。無線装置 30 は、無線装置 10 のアンテナ部 130 をアンテナ部 220 に代え、指向性設定部 230 を追加したものであり、その他は、無線装置 10 と同じである。

アンテナ部 220 は、図 1 に示すアレーアンテナ 20 からなる。そして、アンテナ部 220 は、送信処理部 120 からの信号を指向性設定部 230 によって設定された指向性で無線装置 10 へ送信し、無線装置 10 からの信号を指向性設定部 230 によって設定された指向性で受信して受信処理部 140 またはプロファイル生成部 150 へ出力する。

指向性設定部 230 は、アンテナ部 220 の指向性を設定する。また、指向性設定部 230 は、無線装置 10、30 において秘密鍵 Ks1、Ks2 を生成するとき、後述する方法により所定の順序に従ってアンテナ部 220 の指向性を順次切替える。

なお、無線装置 30 のプロファイル生成部 150 は、アレーアンテナ 20 の指向性を複数個に変えたときの複数の電波をアンテナ部 220 から順次受け、その受けた複数の電波の強度を検出する。そして、プロファイル生成部 150 は、検出した複数の強度からなる受信信号プロファイル RSSI を生成して鍵作成部 160 へ出力する。

図 4 は、図 3 に示す指向性設定部 230 の概略ブロック図である。指向性設定部 230 は、制御電圧発生回路 231 と、バラクタダイオード 232 とを含む。制御電圧発生回路 231 は、制御電圧セット CLV1 ~ CLVn (n は自然数) を順次発生し、その発生した制御電圧セット CLV1 ~ CLVn をバラクタダイオード 232 へ順次出力する。バラクタダイオード 232 は、制御電圧セット CLV1 ~ CLVn に応じて無給電素子であるアンテナ素子 21 ~ 23、25 ~ 27 に装荷される容量を変え、アレーアンテナ 20 の指向性を複数個に順次変える。

10

20

30

40

50

図5は、図2及び図3に示す鍵一致確認部170の概略ブロック図である。鍵一致確認部170は、データ発生部171と、データ比較部172と、結果処理部173とを含む。なお、無線装置10, 30の鍵一致確認部170は、同じ構成からなるが、図5においては、秘密鍵 $Ks_1$ が秘密鍵 $Ks_2$ に一致することを確認する動作を説明するために、無線装置30においてはデータ発生部171のみを示す。

データ発生部171は、鍵作成部160から秘密鍵 $Ks_1$ を受けると、秘密鍵 $Ks_1$ が秘密鍵 $Ks_2$ に一致することを確認するための鍵確認用データ $DCFM_1$ を発生し、その発生した鍵確認用データ $DCFM_1$ を送信処理部120及びデータ比較部172へ出力する。

この場合、データ発生部171は、秘密鍵 $Ks_1$ から非可逆的な演算及び一方向的な演算等により、鍵確認用データ $DCFM_1$ を発生する。より具体的には、データ発生部171は、秘密鍵 $Ks_1$ または $Ks_2$ のハッシュ値を演算することにより、鍵確認用データ $DCFM_1$ を発生する。

データ比較部172は、データ発生部171から鍵確認用データ $DCFM_1$ を受け、無線装置30のデータ発生部171で発生された鍵確認用データ $DCFM_2$ を受信処理部140から受ける。そして、データ比較部172は、鍵確認用データ $DCFM_1$ を鍵確認用データ $DCFM_2$ と比較する。データ比較部172は、鍵確認用データ $DCFM_1$ が鍵確認用データ $DCFM_2$ に一致するとき、一致信号 $MTH$ を生成して結果処理部173へ出力する。

また、データ比較部172は、鍵確認用データ $DCFM_1$ が鍵確認用データ $DCFM_2$ に不一致であるとき、不一致信号 $NMTH$ を生成する。そして、データ比較部172は、不一致信号 $NMTH$ を鍵一致化部190へ出力し、不一致信号 $NMTH$ を送信処理部120及びアンテナ部130を介して無線装置30へ送信する。

結果処理部173は、データ比較部172から一致信号 $MTH$ を受けると、鍵作成部160から受けた秘密鍵 $Ks_1$ を鍵記憶部180へ記憶する。

図6は、図2及び図3に示す鍵一致化部190の概略ブロック図である。鍵一致化部190は、擬似シンδροーム作成部191と、不一致ビット検出部192と、鍵不一致訂正部193と、データ発生部194と、データ比較部195と、結果処理部196とを含む。

なお、無線装置10, 30の鍵一致化部190は、同じ構成からなるが、図6においては、秘密鍵 $Ks_1$ を秘密鍵 $Ks_2$ に一致させる動作を説明するために、無線装置30においては擬似シンδροーム作成部191のみを示す。

擬似シンδροーム作成部191は、鍵一致確認部170のデータ比較部172から不一致信号 $NMTH$ を受けると、鍵作成部160から受けた秘密鍵 $Ks_1$ のシンδροーム $x_1$ を演算する。より具体的には、擬似シンδροーム作成部191は、秘密鍵 $Ks_1$ のビットパターン $x_1$ を検出し、ビットパターン $x_1$ に対して検査行列 $H$ を乗算してシンδροーム $s_1 = x_1 H^T$ を演算する。そして、擬似シンδροーム作成部191は、ビットパターン $x_1$ を鍵不一致訂正部193へ出力し、演算したシンδροーム $s_1 = x_1 H^T$ を不一致ビット検出部192へ出力する。

なお、これらの演算は、 $\text{mod } 2$ の演算であり、 $H^T$ は、検査行列 $H$ の転置行列である。

不一致ビット検出部192は、擬似シンδροーム作成部191からシンδροーム $s_1$ を受け、無線装置30の擬似シンδροーム作成部191によって演算されたシンδροーム $s_2 = x_2 H^T$ を受信処理部140から受ける。そして、不一致ビット検出部192は、シンδροーム $s_1$ とシンδροーム $s_2$ との差分 $s = s_1 - s_2$ を演算する。

なお、秘密鍵 $Ks_1$ ,  $Ks_2$ のビットパターンの差分(鍵不一致のビットパターン)を $e = x_1 - x_2$ とすると、 $s = e H^T$ の関係が成立する。 $s = 0$ の場合、 $e = 0$ となり、秘密鍵 $Ks_1$ のビットパターンは、秘密鍵 $Ks_2$ のビットパターンに一致する。

不一致ビット検出部192は、演算した差分 $s$ が0でないとき(即ち、 $e \neq 0$ のとき)、鍵不一致のビットパターン $e$ を鍵不一致訂正部193へ出力する。

10

20

30

40

50



鍵不一致訂正部 193 は、擬似シンドローム作成部 191 からビットパターン  $x_1$  を受け、不一致ビット検出部 192 から鍵不一致のビットパターン  $e$  を受ける。そして、鍵不一致訂正部 193 は、ビットパターン  $x_1$  から鍵不一致のビットパターン  $e$  を減算することにより相手方の秘密鍵のビットパターン  $x_2 = x_1 - e$  を演算する。

このように、鍵一致化部 190 は、秘密鍵  $Ks_1$ 、 $Ks_2$  の不一致を誤りと見なして誤り訂正の応用により秘密鍵  $Ks_1$ 、 $Ks_2$  の不一致を解消する。

この秘密鍵を一致させる方法は、鍵不一致のビット数が誤り訂正能力以上である場合に鍵の一致化に失敗する可能性があるため、鍵一致化の動作を行なった後に鍵一致の確認を行なう必要がある。

データ発生部 194 は、一致化後の鍵  $x_2 = x_1 - e$  を鍵不一致訂正部 193 から受けると、鍵  $x_2$  に基づいて鍵確認用データ  $DCFM3$  を発生させ、その発生させた鍵確認用データ  $DCFM3$  をデータ比較部 195 へ出力する。また、データ発生部 194 は、発生させた鍵確認用データ  $DCFM3$  を送信処理部 120 及びアンテナ部 130 を介して無線装置 30 へ送信する。

10

なお、データ発生部 194 は、鍵一致確認部 170 のデータ発生部 171 による鍵確認用データ  $DCFM1$  の発生方法と同じ方法により鍵確認用データ  $DCFM3$  を発生する。

データ比較部 195 は、データ発生部 194 から鍵確認用データ  $DCFM3$  を受け、無線装置 30 で発生された鍵確認用データ  $DCFM4$  を受信処理部 140 から受ける。そして、データ比較部 195 は、鍵確認用データ  $DCFM3$  を鍵確認用データ  $DCFM4$  と比較する。

20

データ比較部 195 は、鍵確認用データ  $DCFM3$  が鍵確認用データ  $DCFM4$  に一致するとき、一致信号  $MTH$  を生成して結果処理部 196 へ出力する。

また、データ比較部 195 は、鍵確認用データ  $DCFM3$  が鍵確認用データ  $DCFM4$  に不一致であるとき、不一致信号  $NMTH$  を生成する。そして、データ比較部 195 は、不一致信号  $NMTH$  を送信処理部 120 及びアンテナ部 130 を介して無線装置 30 へ送信する。

結果処理部 196 は、データ比較部 195 から一致信号  $MTH$  を受けると、鍵不一致訂正部 193 から受けた鍵  $x_2 = x_1 - e$  を鍵記憶部 180 へ記憶する。

このように、データ発生部 194、データ比較部 195 及び結果処理部 196 は、鍵一致確認部 170 における確認方法と同じ方法によって一致化が施された鍵の一致を確認する。

30

図 7 は、受信信号プロファイル  $RSSI$  の概念図である。指向性設定部 230 の制御電圧発生回路 231 は、各々が電圧  $V_1 \sim V_6$  からなる制御電圧セット  $CLV_1 \sim CLV_n$  を順次発生してバラクタダイオード 232 へ出力する。この場合、電圧  $V_1 \sim V_6$  は、それぞれ、アンテナ素子 21 ~ 23, 25 ~ 27 に装荷される容量を変えるための電圧であり、0 ~ 20V の範囲で変えられる。

バラクタダイオード 232 は、パターン  $P_1$  からなる制御電圧セット  $CLV_1$  に応じてアレーアンテナ 20 の指向性をある 1 つの指向性に設定する。そして、アレーアンテナ 20 は、設定された指向性で無線装置 10 からの電波を受信してプロファイル生成部 150 へ供給する。プロファイル生成部 150 は、アレーアンテナ 20 (アンテナ部 220) から受けた電波の強度  $WI_1$  を検出する。

40

次に、バラクタダイオード 232 は、パターン  $P_2$  からなる制御電圧セット  $CLV_2$  に応じてアレーアンテナ 20 の指向性を別の指向性に設定する。そして、アレーアンテナ 20 は、設定された指向性で無線装置 10 からの電波を受信してプロファイル生成部 150 へ供給する。プロファイル生成部 150 は、アレーアンテナ 20 (アンテナ部 220) から受けた電波の強度  $WI_2$  を検出する。

以後、同様にして、バラクタダイオード 232 は、それぞれ、パターン  $P_3 \sim P_n$  からなる制御電圧セット  $CLV_3 \sim CLV_n$  に応じてアレーアンテナ 20 の指向性を順次変える。そして、アレーアンテナ 20 は、各々設定された指向性で無線装置 10 からの電波を受信してプロファイル生成部 150 へ供給する。プロファイル生成部 150 は、アレー

50

ンテナ 20 (アンテナ部 220) から受けた電波の強度  $W I 3 \sim W I n$  を順次検出する。

そして、プロファイル生成部 150 は、強度  $W I 1 \sim W I n$  からなる強度プロファイルを示す受信信号プロファイル  $R S S I$  を生成して鍵作成部 160 へ出力する。

パターン  $P 1 \sim P n$  によってアレアンテナ 20 の指向性を複数個に順次切換えて無線装置 30 から無線装置 10 へデータを送信したとき、無線装置 10 のプロファイル生成部 150 が受信信号プロファイル  $R S S I$  を生成する。

鍵作成部 160 は、プロファイル生成部 150 から受信信号プロファイル  $R S S I$  を受け、受信信号プロファイル  $R S S I$  から最大強度  $W I m a x (= W I 6)$  を検出する。そして、鍵作成部 160 は、最大強度  $W I m a x (= W I 6)$  によって受信信号プロファイル  $R S S I$  を規格化し、各強度  $W I 1 \sim W I n$  を多値化する。鍵作成部 160 は、多値化した各値を検出し、その検出した各値をビットパターンとする秘密鍵  $K s 1$  または  $K s 2$  を作成する。

10

図 8 は、図 1 に示す 2 つの無線装置 10, 30 間で通信を行なう動作を説明するためのフローチャートである。一連の動作が開始されると、無線装置 30 の送信処理部 120 は、 $k = 1$  を設定する (ステップ  $S 1$ )。そして、指向性設定部 230 は、パターン  $P 1$  によりアレアンテナ 20 の指向性を 1 つの指向性に設定する (ステップ  $S 2$ )。

その後、無線装置 10 の信号発生部 110 は、所定の信号を発生して送信処理部 120 へ出力する。送信処理部 120 は、所定の信号に変調等の処理を施し、アンテナ 11 を介して無線装置 30 へ所定の信号を構成する電波を送信する (ステップ  $S 3$ )。

無線装置 30 において、アレアンテナ 20 は、無線装置 10 からの電波を受信し、その受信した電波をプロファイル生成部 150 へ出力する。プロファイル生成部 150 は、アレアンテナ 20 から受けた電波の強度  $I 1 k$  を検出する (ステップ  $S 4$ )。

20

その後、無線装置 30 の信号発生部 110 は、所定の信号を発生して送信処理部 120 へ出力する。送信処理部 120 は、所定の信号に変調等の処理を施し、アレアンテナ 20 を介して無線装置 10 へ所定の信号を構成する電波を送信する (ステップ  $S 5$ )。

無線装置 10 において、アンテナ 11 は、無線装置 30 からの電波を受信し、その受信した電波をプロファイル生成部 150 へ出力する。プロファイル生成部 150 は、アンテナ 11 から受けた電波の強度  $I 2 k$  を検出する (ステップ  $S 6$ )。

その後、無線装置 30 の送信処理部 120 は、 $k = k + 1$  を設定し (ステップ  $S 7$ )、 $k = n$  であるか否かを判定する (ステップ  $S 8$ )。そして、 $k = n$  でないとき、ステップ  $S 2 \sim S 8$  が繰返し実行される。即ち、アレアンテナ 20 の指向性がパターン  $P 1 \sim P n$  によって  $n$  個に変えられて、無線装置 10 のアンテナ 11 と無線装置 30 のアレアンテナ 20 との間で所定の信号を構成する電波が送受信され、強度  $I 1 1 \sim I 1 n$  及び  $I 2 1 \sim I 2 n$  が検出されるまで、ステップ  $S 2 \sim S 8$  が繰返し実行される。

30

ステップ  $S 8$  において、 $k = n$  であると判定されると、無線装置 30 において、プロファイル生成部 150 は、強度  $I 1 1 \sim I 1 n$  から受信信号プロファイル  $R S S I 1$  を作成して鍵作成部 160 へ出力する。

鍵作成部 160 は、受信信号プロファイル  $R S S I 1$  から最大強度  $W I m a x 1$  を検出し、その検出した最大強度  $W I m a x 1$  によって受信信号プロファイル  $R S S I 1$  を規格化し、強度  $I 1 1 \sim I 1 n$  を多値化する。そして、鍵作成部 160 は、多値化した各値をビットパターンとする秘密鍵  $K s 2$  を生成する (ステップ  $S 9$ )。

40

また、無線装置 10 のプロファイル生成部 150 は、強度  $I 2 1 \sim I 2 n$  から受信信号プロファイル  $R S S I 2$  を作成して鍵作成部 160 へ出力する。鍵作成部 160 は、受信信号プロファイル  $R S S I 2$  から最大強度  $W I m a x 2$  を検出し、その検出した最大強度  $W I m a x 2$  によって受信信号プロファイル  $R S S I 2$  を規格化し、強度  $I 2 1 \sim I 2 n$  を多値化する。そして、鍵作成部 160 は、多値化した各値をビットパターンとする秘密鍵  $K s 1$  を生成する (ステップ  $S 10$ )。

その後、無線装置 10 において、鍵作成部 160 は、秘密鍵  $K s 1$  を鍵一致確認部 170 へ出力する。鍵一致確認部 170 のデータ発生部 171 は、上述した方法によって鍵確認用データ  $D C F M 1$  を発生して送信処理部 120 及びデータ比較部 172 へ出力する。

50

送信処理部 120 は、鍵確認用データ DCFM1 に変調等の処理を施し、アンテナ部 130 を介して無線装置 30 へ鍵確認用データ DCFM1 を送信する。

そして、アンテナ部 130 は、無線装置 30 において発生された鍵確認用データ DCFM2 を無線装置 30 から受信し、その受信した鍵確認用データ DCFM2 を受信処理部 140 へ出力する。受信処理部 140 は、鍵確認用データ DCFM2 に所定の処理を施し、鍵一致確認部 170 のデータ比較部 172 へ鍵確認用データ DCFM2 を出力する。

データ比較部 172 は、データ発生部 171 からの鍵確認用データ DCFM1 を受信処理部 140 からの鍵確認用データ DCFM2 と比較する。そして、データ比較部 172 は、鍵確認用データ DCFM1 が鍵確認用データ DCFM2 に一致しているとき、一致信号 MTH を生成して結果処理部 173 へ出力する。結果処理部 173 は、一致信号 MTH に  
10

応じて、鍵作成部 160 からの秘密鍵  $Ks1$  を鍵記憶部 180 に記憶する。  
一方、鍵確認用データ DCFM1 が鍵確認用データ DCFM2 に不一致であるとき、データ比較部 172 は、不一致信号 NMTH を生成して送信処理部 120 及び鍵一致化部 190 へ出力する。送信処理部 120 は、不一致信号 NMTH をアンテナ部 130 を介して無線装置 30 へ送信する。そして、無線装置 30 は、無線装置 10 において秘密鍵  $Ks1$  ,  $Ks2$  の不一致が確認されたことを検知する。

これにより、無線装置 10 における鍵一致の確認が終了する (ステップ S11)。

なお、無線装置 10 における鍵一致確認に代えて、無線装置 30 において鍵一致確認をしてもよい (ステップ S12)。

ステップ S11 において、秘密鍵  $Ks1$  ,  $Ks2$  の不一致が確認されたとき、無線装置 10 において、鍵一致化部 190 の擬似シンδροーム作成部 191 は、鍵一致確認部 170 から不一致信号 NMTH を受ける。そして、擬似シンδροーム作成部 191 は、不一致信号 NMTH に応じて、鍵作成部 160 から受けた秘密鍵  $Ks1$  のビットパターン  $x_1$  を  
20

検出し、その検出したビットパターン  $x_1$  のシンδροーム  $s1 = x_1 H^T$  を演算する。  
擬似シンδροーム作成部 191 は、演算したシンδροーム  $s1 = x_1 H^T$  を不一致ビット検出部 192 へ出力し、ビットパターン  $x_1$  を鍵不一致訂正部 193 へ出力する。

一方、無線装置 30 は、ステップ S11 において無線装置 10 から不一致信号 NMTH を受信し、その受信した不一致信号 NMTH に応じて、シンδροーム  $s2 = x_2 H^T$  を演算して無線装置 10 へ送信する。

無線装置 10 のアンテナ部 130 は、無線装置 30 からシンδροーム  $s2 = x_2 H^T$  を  
30

受信して受信処理部 140 へ出力する。受信処理部 140 は、シンδροーム  $s2 = x_2 H^T$  に対して所定の処理を施し、シンδροーム  $s2 = x_2 H^T$  を鍵一致化部 190 へ出力する。  
鍵一致化部 190 の不一致ビット検出部 192 は、受信処理部 140 から無線装置 30 において作成されたシンδροーム  $s2 = x_2 H^T$  を受ける。そして、不一致ビット検出部 192 は、無線装置 10 で作成されたシンδροーム  $s1 = x_1 H^T$  と無線装置 30 において作成されたシンδροーム  $s2 = x_2 H^T$  との差分  $s = s1 - s2$  を演算する。

その後、不一致ビット検出部 192 は、 $s = 0$  であることを確認し、鍵不一致のビットパターン  $e = x_1 - x_2$  を  $s = e H^T$  に基づいて演算し、その演算した鍵不一致のビット  
40

パターン  $e$  を鍵不一致訂正部 193 へ出力する。  
鍵不一致訂正部 193 は、擬似シンδροーム作成部 191 からのビットパターン  $x_1$  と、不一致ビット検出部 192 からの鍵不一致のビットパターン  $e$  とに基づいて、無線装置 30 において作成された秘密鍵  $Ks2$  のビットパターン  $x_2 = x_1 - e$  を演算する。

そして、データ発生部 194、データ比較部 195 及び結果処理部 196 は、鍵一致確認部 170 における鍵一致確認の動作と同じ動作によって、一致化された鍵  $x_2 = x_1 - e$  の一致を確認する。

これにより、鍵不一致対策が終了する (ステップ S13)。

なお、無線装置 10 における鍵不一致対策に代えて、無線装置 30 において鍵不一致対策をしてもよい (ステップ S14)。

ステップ S11 において、秘密鍵  $Ks1$  が秘密鍵  $Ks2$  に一致することが確認されたと  
50

き、またはステップ S 1 3 において鍵不一致対策がなされたとき、暗号部 2 0 0 は、鍵記憶部 1 8 0 から秘密鍵 K s 1 を読み出して送信データを暗号化し、暗号化した送信データを送信処理部 1 2 0 へ出力する。そして、送信処理部 1 2 0 は、暗号化された送信データに変調等を施し、アンテナ部 1 3 0 を介して暗号化された送信データを無線装置 3 0 へ送信する。

また、アンテナ部 1 3 0 は、暗号化された送信データを無線装置 3 0 から受信し、その受信した暗号化された送信データを受信処理部 1 4 0 へ出力する。受信処理部 1 4 0 は、暗号化された送信データに所定の処理を施し、暗号化された送信データを復号部 2 1 0 へ出力する。

復号部 2 1 0 は、受信処理部 1 4 0 からの暗号化された送信データを復号して受信データを取得する。

10

これにより、秘密鍵 K s 1 による暗号・復号が終了する（ステップ S 1 5 ）。

無線装置 3 0 においても、無線装置 1 0 と同じ動作によって秘密鍵 K s 2 による暗号・復号が行なわれる（ステップ S 1 6 ）。そして、一連の動作が終了する。

上述したステップ S 3 , S 4 に示す動作は、無線装置 3 0 において受信信号プロファイル R S S I 1 を生成するための電波を無線装置 1 0 のアンテナ 1 1 から無線装置 3 0 のアレーアンテナ 2 0 へ送信し、かつ、無線装置 3 0 において電波の強度 I 1 k を検出する動作であり、ステップ S 5 , S 6 に示す動作は、無線装置 1 0 において受信信号プロファイル R S S I 2 を生成するための電波を無線装置 3 0 アレーアンテナ 2 0 から無線装置 1 0 のアンテナ 1 1 へ送信し、かつ、無線装置 1 0 において電波の強度 I 2 k を検出する動作

20

である。そして、所定の信号を構成する電波の無線装置 1 0 のアンテナ 1 1 から無線装置 3 0 のアレーアンテナ 2 0 への送信及び所定の信号を構成する電波の無線装置 3 0 のアレーアンテナ 2 0 から無線装置 1 0 のアンテナ 1 1 への送信は、アレーアンテナ 2 0 の指向性を 1 つの指向性に設定して交互に行なわれる。つまり、所定の信号を構成する電波は、無線装置 1 0 のアンテナ 1 1 と無線装置 3 0 のアレーアンテナ 2 0 との間で時分割復信（TDD）等の同一周波数で送受信する方式により送受信される。

従って、アレーアンテナ 2 0 の指向性を 1 つの指向性に設定して無線装置 1 0 のアンテナ 1 1 から無線装置 3 0 のアレーアンテナ 2 0 へ所定の信号を構成する電波を送信し、無線装置 3 0 において電波の強度 I 1 k を検出した直後に、同じ所定の信号を構成する電波を無線装置 3 0 のアレーアンテナ 2 0 から無線装置 1 0 のアンテナ 1 1 へ送信し、無線装置 1 0 において電波の強度 I 2 k を検出することができる。その結果、無線装置 1 0 , 3 0 間において同じ伝送路特性を確保して所定の信号を構成する電波を無線装置 1 0 , 3 0 間で送受信でき、電波の可逆性により電波の強度 I 1 1 ~ I 1 n をそれぞれ電波の強度 I 2 1 ~ I 2 n に一致させることができる。そして、無線装置 1 0 において作成される秘密鍵 K s 1 を無線装置 3 0 において作成される秘密鍵 K s 2 に容易に一致させることができる。

30

また、所定の信号を構成する電波は、無線装置 1 0 , 3 0 間で時分割復信（TDD）等の同一周波数で送受信する方式により送受信されるので、電波の干渉を抑制して 1 つのアレーアンテナ 2 0 を介して所定の信号を構成する電波を無線装置 1 0 , 3 0 間で送受信できる。

40

更に、アレーアンテナ 2 0 の指向性を 1 つの指向性に設定して無線装置 1 0 , 3 0 間で所定の信号を構成する電波を送受信し、秘密鍵 K s 1 , K s 2 を作成するための受信信号プロファイル R S S I 1 , R S S I 2 を生成するので、図 1 に示すようにアレーアンテナ 2 0 を装着した無線装置 3 0 の近傍に盗聴装置 5 0 が配置されていても、盗聴装置 5 0 による秘密鍵 K s 1 , K s 2 の盗聴を抑制できる。

即ち、盗聴装置 5 0 は、アンテナ 1 1 及びアレーアンテナ 2 0 から送信された電波をアンテナ 5 1 を介して受信するが、アレーアンテナ 2 0 は指向性を各指向性に設定して電波を送受信するので、アンテナ 1 1 とアレーアンテナ 2 0 との間で送受信される電波は、アンテナ 1 1 またはアレーアンテナ 2 0 とアンテナ 5 1 との間で送受信される電波と異なり、盗聴装置 5 0 は、無線装置 3 0 が送受信する電波と同じ電波を送受信できず、電波の強

50

度  $I_{1k}$  と同じ強度を得ることができない。その結果、盗聴装置 50 は、秘密鍵  $K_{s1}$  ,  $K_{s2}$  を盗聴することができない。

従って、この発明においては、電氣的に指向性を切換え可能なアレーアンテナ 20 を盗聴装置 50 の近傍に配置された無線装置 30 に装着することを特徴とする。

更に、鍵確認用データ  $DCFM_{1\sim 4}$  は、秘密鍵  $K_{s1}$  ,  $K_{s2}$  に非可逆的な演算、または一方向的な演算を施して発生されるので、鍵確認用データ  $DCFM_{1\sim 4}$  が盗聴されても秘密鍵  $K_{s1}$  ,  $K_{s2}$  が解読される危険性を極めて低くできる。

更に、シンドローム  $s_1$  ,  $s_2$  は、秘密鍵  $K_{s1}$  ,  $K_{s2}$  のビットパターンを示す鍵  $x_1$  ,  $x_2$  に検査行列  $H$  の転置行列  $H^T$  を乗算して得られるので、シンドローム  $s_1$  ,  $s_2$  が盗聴されても直ちに情報のビットパターンが推測されることは特殊な符号化を想定しない限り起こらない。従って、盗聴を抑制して秘密鍵を一致させることができる。

なお、無線装置 10 , 30 間で通信を行なう動作は、実際には、CPU (Central Processing Unit) によって行なわれ、無線装置 10 に搭載された CPU は、図 8 に示す各ステップ  $S_3$  ,  $S_6$  ,  $S_{10}$  ,  $S_{11}$  ,  $S_{13}$  ,  $S_{15}$  を備えるプログラムを ROM (Read Only Memory) から読出し、無線装置 30 に搭載された CPU は、図 8 に示す各ステップ  $S_1$  ,  $S_2$  ,  $S_4$  ,  $S_5$  ,  $S_7$  ,  $S_8$  ,  $S_9$  ,  $S_{12}$  ,  $S_{14}$  ,  $S_{16}$  を備えるプログラムを ROM から読出し、無線装置 10 , 30 に搭載された 2 つの CPU は、その読出したプログラムを実行して図 8 に示すフローチャートに従って無線装置 10 , 30 間で通信を行なう。

従って、ROM は、無線装置 10 , 30 間で通信を行なう動作をコンピュータ (CPU) に実行させるためのプログラムを記録したコンピュータ (CPU) 読取り可能な記録媒体に相当する。

そして、図 8 に示す各ステップを備えるプログラムは、アレーアンテナ 20 の指向性を複数個に順次変えて受信した複数の電波に基づいて、無線装置 10 , 30 間における通信をコンピュータ (CPU) に実行させるプログラムである。

上記においては、電氣的に指向性を切換え可能なアレーアンテナ 20 を無線装置 30 のみに装着すると説明したが、この発明においては、アレーアンテナ 20 は、無線装置 10 及び 30 の両方に装着されてもよい。

即ち、この発明においては、アレーアンテナ 20 は、2 つの無線装置 10 , 30 のうち、少なくとも一方の無線装置に装着されていればよい。そして、アレーアンテナ 20 を装着した無線装置は、好ましくは、盗聴装置 50 の近傍に配置される。

また、この発明においては、秘密鍵  $K_{s1}$  ,  $K_{s2}$  の鍵長は、無線装置 10 , 30 間の通信環境に応じて決定されてもよい。即ち、無線装置 10 , 30 間の通信環境が盗聴し易い環境であるとき、秘密鍵  $K_{s1}$  ,  $K_{s2}$  の鍵長を相対的に長くし、無線装置 10 , 30 間の通信環境が盗聴しにくい環境であるとき、秘密鍵  $K_{s1}$  ,  $K_{s2}$  の鍵長を相対的に短くする。

更に、定期的に秘密鍵  $K_{s1}$  ,  $K_{s2}$  の鍵長を変えるようにしてもよい。

更に、無線装置 10 , 30 間で送受信する情報の機密性に応じて秘密鍵  $K_{s1}$  ,  $K_{s2}$  の鍵長を変えるようにしてもよい。即ち、情報の機密性が高いとき秘密鍵  $K_{s1}$  ,  $K_{s2}$  の鍵長を相対的に長くし、情報の機密性が低いとき秘密鍵  $K_{s1}$  ,  $K_{s2}$  の鍵長を相対的に短くする。

そして、この鍵長は、アレーアンテナ 20 の指向性を変化させる個数、即ち、制御電圧セット  $CLV_1 \sim CLV_n$  の個数により制御される。秘密鍵  $K_{s1}$  ,  $K_{s2}$  は、検出された電波の強度  $I_{11} \sim I_{1n}$  ,  $I_{21} \sim I_{2n}$  の個数からなるビットパターンを有し、電波の強度  $I_{11} \sim I_{1n}$  ,  $I_{21} \sim I_{2n}$  の個数は、アレーアンテナ 20 の指向性を変化させる個数に等しいからである。つまり、制御電圧セット  $CLV_1 \sim CLV_n$  の個数により秘密鍵  $K_{s1}$  ,  $K_{s2}$  の鍵長を制御できる。

このように、この発明においては、秘密鍵  $K_{s1}$  ,  $K_{s2}$  の鍵長は、電氣的に指向性を切換え可能なアレーアンテナ 20 の指向性を変化させる個数によって決定される。

更に、上記においては、2 つの無線装置間において秘密鍵を生成する場合、即ち、1 つ

10

20

30

40

50

の無線装置が1つの無線装置と通信する場合について説明したが、この発明は、これに限らず、1つの無線装置が複数の無線装置と通信する場合についても適用される。この場合、1つの無線装置は、通信の相手毎にアレーアンテナ20の指向性の切換パターンを変えて秘密鍵を生成する。1つの無線装置は、アレーアンテナ20の指向性の切換パターンを1つに固定して複数の無線装置との間で秘密鍵を生成することも可能であるが（複数の無線装置の設置場所によって1つの無線装置との伝送路が異なるので、通信の相手毎に異なる秘密鍵を生成できる）、盗聴を効果的に抑制するには、通信の相手毎にアレーアンテナ20の指向性の切換パターンを変えて秘密鍵を生成するのが好ましい。

[実施の形態2]

図9は、実施の形態2による無線通信システムの概略図である。無線通信システム200は、図1に示す無線通信システム100の無線装置10、30をそれぞれ無線装置10A、30Aに代えたものであり、その他は、無線通信システム100と同じである。

無線装置10Aには、アンテナ11が装着され、無線装置30Aには、アレーアンテナ20が装着される。無線装置10Aは、無線LAN(Local Area Network)の protocols であるIEEE802.11bまたはIEEE802.11gに従って無線装置30Aとの間で通信を行なう。

図10は、図9に示す一方の無線装置10Aの内部構成を示す概略ブロック図である。無線装置10Aは、無線装置10の信号発生部10を信号発生部110Aに代えたものであり、その他は、無線装置10と同じである。

信号発生部110Aは、秘密鍵を生成するときに無線装置30Aへ送信するための所定の信号を生成し、その生成した所定の信号を送信処理部120へ出力する。送信処理部120は、暗号部200から暗号化データを受けると、その受けた暗号化データに対して変調、周波数変換および増幅等を施してアンテナ部130から送信する。

なお、実施の形態2においては、送信処理部120は、信号発生部110Aから所定の信号を受けると、所定の信号を所定の通信プロトコルであるIEEE802.11b（またはIEEE802.11g）の物理層を構成するデータフォーマットに含め、変調、周波数変換および増幅等を施してアンテナ部130から送信する。

図11は、図9に示す他方の無線装置30Aの内部構成を示す概略ブロック図である。無線装置30Aは、無線装置30の信号発生部110を信号発生部110Aに代え、指向性設定部230を指向性設定部230Aに代えたものであり、その他は、無線装置30と同じである。信号発生部110Aについては、上述したとおりである。

実施の形態2においては、アンテナ部220は、送信処理部120からの信号を指向性設定部230Aによって設定された無指向性または指向性で無線装置10Aへ送信する。すなわち、アンテナ部220は、オムニアンテナまたは指向性アンテナとして機能し、送信処理部120からの信号を無線装置10Aへ送信する。また、アンテナ部220は、無線装置10Aからの信号を指向性設定部230Aによって設定された指向性で受信して受信処理部140またはプロファイル生成部150へ出力する。

指向性設定部230Aは、アンテナ部220の指向性を設定する機能を持ち、無線装置10A、30Aにおいて秘密鍵Ks1、Ks2を生成するとき、後述する方法により、所定の順序に従ってアンテナ部220の指向性を順次切換え、またはアンテナ部220を無指向性に設定する。

図12は、図11に示す指向性設定部230Aの機能ブロック図である。指向性設定部230Aは、指向性設定部230の制御電圧発生回路231を制御電圧発生回路231Aに代えたものであり、その他は、指向性設定部230と同じである。

指向性設定部230Aは、制御電圧セットCLV1~CLVn（nは自然数）を順次発生し、その発生した制御電圧セットCLV1~CLVnをバラクタダイオード232へ順次出力する。バラクタダイオード232は、制御電圧セットCLV1~CLVnに応じて無給電素子であるアンテナ素子21~23、25~27に装荷される容量を変え、アレーアンテナ20をオムニアンテナまたは指向性アンテナとして機能させる。すなわち、バラクタダイオード232は、制御電圧セットCLV1~CLVnに応じて無給電素子21~

10

20

30

40

50

23, 25~27のリアクタンス値を変えることによってアレーアンテナ20をオムニアンテナまたは指向性アンテナとして機能させる。この場合、制御電圧セットCLV1~CLVnの全てが0Vからなるとき、アレーアンテナ20は、オムニアンテナとして機能する。そして、バラクタダイオード232は、制御電圧セットCLV1~CLVnの複数の異なるセットに応じて、無給電素子21~23, 25~27のリアクタンス値を順次変え、アレーアンテナ20の指向性を複数個に順次変える。

図13は、所定の通信プロトコルであるIEEE802.11b(またはIEEE802.11g)の物理層およびMAC(Media Access Control)層のフォーマットを示す図である。物理層は、データを電気信号に変換し、実際の伝送を行なう階層である。そして、物理層は、IEEE802.11bおよびIEEE802.11gの両方に共通なデータフォーマットからなる。また、MAC層は、各無線装置間で信頼性の高いデータ伝送を行なう階層である。物理層は、PLCP(Physical Layer Convergence Protocol)プリアンブルと、PLCPヘッダとからなる。

PLCPプリアンブルは、SYNC(SYNChronization field)信号と、SFD(Start Frame Delimeter)信号とからなる。また、PLCPヘッダは、SIGNAL(SIGNAL or data rate)信号と、SERVICE信号と、LENGTH信号と、CRC(Cyclic Redundancy Code)信号とからなる。

SYNC信号は、128ビットのデータ長を有する信号であり、同期の確立に使用される。SFD信号は、16ビットのデータ長を有する信号であり、PLCPプリアンブルの終了を示す。

SIGNAL信号は、8ビットのデータ長を有する信号であり、MAC層のデータ速度を示す。SERVICE信号は、8ビットのデータ長を有する信号であり、機能拡張用として予約されている。LENGTH信号は、16ビットのデータ長を有する信号であり、MAC層のデータ長を示す。CRC信号は、16ビットのデータ長を有する信号であり、誤り検出に用いられる。

また、MAC層は、PSDU(PLCP Service Data Unit)からなる。そして、PSDUは、48ビット以上のデータ長を有するMAC層のデータである。

実施の形態2においては、秘密鍵Ks1, Ks2を生成する場合、無線装置10A, 30Aは、所定のデータを物理層に含め、アレーアンテナ20の指向性を変化させながら送信する。より具体的には、SYNC信号、SFD信号、SIGNAL信号、SERVICE信号、LENGTH信号およびCRC信号のうち、SYNC信号、SFD信号、SIGNAL信号およびSERVICE信号を複数のデータD0~D11から構成する。そして、複数のデータD1~D11は、所定のデータを分割したデータである。

データD0は、36ビットのデータ長を有する。また、複数のデータD1~D11の各々は、11ビットのデータ長を有する。11ビットのデータ長に相当する時間長を期間T0とすると、複数のデータD1~D11の各々は、3ビットのデータ長に相当する期間T1と、8ビットのデータ長に相当する期間T2とに分割される。

秘密鍵Ks1, Ks2を生成する場合、データD0のデータ長に相当する期間T3、アレーアンテナ20をオムニアンテナとして機能させ、データD1~D11全体のデータ長に相当する期間T4、アレーアンテナ20を指向性アンテナとして機能させ、LENGTH信号およびCRC信号のデータ長に相当する期間T5、アレーアンテナ20をオムニアンテナとして機能させて所定のデータを送信する。

そして、期間T4においてアレーアンテナ20を指向性アンテナとして機能させる場合、アレーアンテナ20の指向性が順次切換えられる。より具体的には、複数のデータD1~D11の各々の期間T1においてアレーアンテナ20の指向性が変化され、期間T2において、その変化された指向性でデータが送信される。従って、図13に示す例においては、アレーアンテナ20の指向性が11回変更されて所定のデータが送信される。

10

20

30

40

50

所定のデータを受信する場合、所定のデータの送信時と同じように、期間 T3, T5 においてアレーアンテナ 20 をオムニアンテナとして機能させ、期間 T4 においてアレーアンテナ 20 を指向性アンテナとして機能させる。そして、所定のデータの受信時においては、複数のデータ D1 ~ D11 の各々の期間 T1 においてアレーアンテナ 20 の指向性が変化され、その変化された指向性で受信した電波の強度が期間 T2 において検出される。従って、図 13 に示す例においては、所定のデータの受信時においても、アレーアンテナ 20 の指向性は、11 回変更される。

なお、期間 T3 においてアレーアンテナ 20 をオムニアンテナとして機能させるのは、通信の初期においては、AGC (Auto Gain Control) 機能を働かせ、データの受信レベルを最適値に調整する必要があるからである。また、期間 T5 においてアレーアンテナ 20 をオムニアンテナとして機能させるのは、次の理由による。物理層および MAC 層のデータ受信に誤りが生じると、確認応答 (= ACK 信号) が返らず、再送状態が続いてしまう。したがって、これを防止するために MAC 層のデータに関連する LENGTH 信号および物理層のデータ受信の成否を判定する CRC 信号をオムニアンテナで送受信することにしたものである。

図 14 は、2つの無線装置 10A, 30A 間でデータを送受信する通常の方法の概念図である。また、図 15 は、2つの無線装置 10A, 30A 間におけるデータの再送の概念図である。更に、図 16 は、この発明の実施の形態において、2つの無線装置 10A, 30A 間でデータを送受信する方法の概念図である。

通常の方法においては、無線装置 30A は、アレーアンテナ 20 の指向性を指向性パターン (1) に従って順次切換えて所定のデータ DA を無線装置 10A へ送信する。そして、無線装置 10A は、所定のデータ DA の受信を確認すると、確認応答 ACK を無線装置 30A へ送信し、無線装置 30A は、アレーアンテナ 20 の指向性を指向性パターン (1) に従って順次切換えて確認応答 ACK を受信する。その後、無線装置 30A は、アレーアンテナ 20 の指向性を指向性パターン (2) に従って順次切換えて所定のデータ DA を無線装置 10A へ送信する。そして、無線装置 10A は、無線装置 30A から所定のデータ DA を受信する (図 14 参照)。

しかし、このような通常の方法においては、アレーアンテナ 20 の指向性の変更によって図 13 に示す SYNC 信号以降のデータを誤って受信した場合、物理層の同期は成立しているが、MAC 層より上位の層の同期が成立しないため、確認応答 ACK が返送されず、図 15 に示すように、アレーアンテナ 20 の指向性を指向性パターン (1) に従って順次切換えて所定のデータ DA を再送する動作が継続する。その結果、無線装置 10A, 30A 間において双方向の通信ができなくなる。

そこで、この発明においては、図 16 に示す方法で所定のデータ DA を送受信する。すなわち、無線装置 30A は、アレーアンテナ 20 にオムニパターンを設定して所定のデータ DA を無線装置 10A へ送信する。つまり、無線装置 30A は、アレーアンテナ 20 をオムニアンテナとして機能させて所定のデータ DA を無線装置 10A へ送信する。

そして、無線装置 10A は、無線装置 30A からの所定のデータ DA の受信を確認すると、確認応答 ACK を無線装置 30A へ送信する。無線装置 30A は、アレーアンテナ 20 の指向性を指向性パターン (1) に従って順次切換えて確認応答 ACK を受信する。その後、無線装置 30A は、アレーアンテナ 20 の指向性を指向性パターン (1) に従って順次切換えて所定のデータ DA を無線装置 10A へ送信する。そして、無線装置 10A は、無線装置 30A から所定のデータ DA を受信する (図 16 参照)。

図 16 に示す方法においては、無線装置 30A は、最初の送信において、通信が確立しているオムニパターンを使用するため、無線装置 10A から確認応答 ACK を必ず受信できる。その結果、無線装置 10A, 30A 間における双方向の通信を確保できる。

そして、確認応答 ACK は、図 13 に示す物理層のフォーマットからなるので、無線装置 30A は、アレーアンテナ 20 の指向性を指向性パターン (1) に従って順次切換えて確認応答 ACK を受信するとき、受信した確認応答 ACK に含まれる複数のデータ D1 ~ D11 に対応する複数の電波強度を検出できる。また、無線装置 30A は、確認応答 ACK

10

20

30

40

50



Kの受信時における指向性パターン(1)を使用してアレーアンテナ20の指向性を順次切換えて所定のデータDAを無線装置10Aへ送信するので、無線装置10Aは、無線装置30Aにおいて検出された複数の電波強度と同じ複数の電波強度を検出できる。

図16に示す方法によって所定のデータを無線装置10A, 30A間で1回送受信した場合、無線装置10A, 30Aは、11個の電波強度からなる強度プロファイルPI11, PI21をそれぞれ検出する。そして、無線装置10A, 30A間における所定のデータの送受信をm(mは自然数)回繰り返すことによって、無線装置10A, 30Aは、m個の強度プロファイルPI11~PI1m, PI21~PI2mをそれぞれ検出する。

そして、強度プロファイルPI11~PI1mの全体に含まれる電波強度は、図7に示すn個の電波強度WI1~WINに等しい。従って、無線装置10A, 30A間における所定のデータの1回の送受信によって、n個の電波強度WI1~WINのうちの11個の電波強度WI(i)~WI(i+10)(i=1~n-10)が検出される。

つまり、この発明においては、所定の通信プロトコルであるIEEE802.11b(またはIEEE802.11g)の物理層に所定のデータDAを含めて無線装置10A, 30A間で送受信することをm回繰り返すことによってn個の電波強度WI1~WINが検出され、その検出されたn個の電波強度WI1~WINに基づいて秘密鍵Ks1, Ks2が生成される。

図17は、図9に示す2つの無線装置10A, 30A間で通信を行なう動作を説明するためのフローチャートである。一連の動作が開始されると、無線装置30Aの送信処理部120は、k=1を設定する(ステップS21)。そして、指向性設定部230Aは、アレーアンテナ20をオムニアンテナとして機能させ、所定のデータDAを無線装置10Aへ送信する(ステップS22)。

続いて、無線装置10Aのアンテナ部130は、所定のデータDAを受信し(ステップS23)、その受信した所定のデータDAを受信処理部140へ出力する。そして、受信処理部140は、所定のデータDAの受信を確認すると、送信処理部120は、確認応答(ACK信号)をアンテナ部130から無線装置30Aへ送信する(ステップS24)。

無線装置30Aの指向性設定部230Aは、アンテナ部220をオムニアンテナ、指向性アンテナおよびオムニアンテナとして順次機能させ、アンテナ部220は、確認応答(ACK信号)を受信する(ステップS25)。すなわち、アレーアンテナ20は、図13に示すデータD0をオムニアンテナとして受信し、指向性をパターンPkにより11個に変化させながらデータD1~D11を受信し、更に、LENGTH信号およびCRC信号をオムニアンテナとして受信する。

そして、アンテナ部220は、受信した複数のデータD1~D11に対応する複数の電波をプロファイル生成部150へ出力する。プロファイル生成部150は、アンテナ部220からの複数の電波の強度プロファイルPI1kを検出する(ステップS26)。

次に、無線装置30Aの信号発生部110Aは、所定のデータを発生して送信処理部120へ出力し、送信処理部120は、所定のデータを物理層のデータD1~D11に割り当て、オムニアンテナ、指向性アンテナおよびオムニアンテナとして順次機能させたアンテナ部220を介して無線装置10Aへ所定のデータを送信する(ステップS27)。すなわち、アンテナ部220は、図13に示すデータD0をオムニアンテナとして送信し、指向性をパターンPkにより11個に変化させながらデータD1~D11を送信し、更に、LENGTH信号およびCRC信号をオムニアンテナとして送信する。

無線装置10Aにおいて、アンテナ部130は、無線装置30Aから所定のデータを受信する。(ステップS28)。そして、アンテナ部130は、受信した複数のデータD1~D11に対応する複数の電波をプロファイル生成部150へ出力する。プロファイル生成部150は、アンテナ部130からの複数の電波の強度プロファイルPI2kを検出する(ステップS29)。

その後、無線装置30Aの送信処理部120は、k=k+1を設定し(ステップS30)、k=mであるか否かを判定する(ステップS31)。そして、k=mでないとき、ステップS22~S31が繰り返し実行される。即ち、アレーアンテナ20の指向性パターン

10

20

30

40

50

がパターン P 1 ~ P m によって m 個に変えられて、無線装置 1 0 A のアンテナ部 1 3 0 と無線装置 3 0 A のアンテナ部 2 2 0 との間で所定のデータを構成する電波が送受信され、強度プロファイル I 1 1 ~ I 1 m 及び I 2 1 ~ I 2 m が検出されるまで、ステップ S 2 ~ S 1 1 が繰り返し実行される。

ステップ S 1 1 において、k = m であると判定されると、無線装置 3 0 A において、プロファイル生成部 1 5 0 は、強度プロファイル I 1 1 ~ I 1 m に含まれる強度 I 1 1 ~ I 1 n から受信信号プロファイル R S S I 1 を作成して鍵作成部 1 6 0 へ出力する。

鍵作成部 1 6 0 は、受信信号プロファイル R S S I 1 から最大強度 W I m a x 1 を検出し、その検出した最大強度 W I m a x 1 によって受信信号プロファイル R S S I 1 を規格化し、強度 I 1 1 ~ I 1 n を多値化する。そして、鍵作成部 1 6 0 は、多値化した各値をビットパターンとする秘密鍵 K s 2 を生成する (ステップ S 3 2 )

10

また、無線装置 1 0 A のプロファイル生成部 1 5 0 は、強度プロファイル I 2 1 ~ I 2 m に含まれる強度 I 2 1 ~ I 2 n から受信信号プロファイル R S S I 2 を作成して鍵作成部 1 6 0 へ出力する。鍵作成部 1 6 0 は、受信信号プロファイル R S S I 2 から最大強度 W I m a x 2 を検出し、その検出した最大強度 W I m a x 2 によって受信信号プロファイル R S S I 2 を規格化し、強度 I 2 1 ~ I 2 n を多値化する。そして、鍵作成部 1 6 0 は、多値化した各値をビットパターンとする秘密鍵 K s 1 を生成する (ステップ S 3 3 )。

ステップ S 3 4 ~ ステップ S 3 9 は、図 8 に示すフローチャートのステップ S 1 4 ~ ステップ S 1 9 と同じである。

上述したステップ S 2 2 ~ S 2 4 に示す動作は、アレーアンテナ 2 0 をオムニアンテナとして機能させて無線装置 1 0 A と無線装置 3 0 A との間で通信を確立する動作である。また、ステップ S 2 4 ~ S 2 6 に示す動作は、無線装置 3 0 A において受信信号プロファイル R S S I 1 を生成するための電波を無線装置 1 0 A のアンテナ 1 1 から無線装置 3 0 A のアレーアンテナ 2 0 へ送信し、かつ、無線装置 3 0 A において電波の強度プロファイル P I 1 k を検出する動作であり、ステップ S 2 7 ~ S 2 9 に示す動作は、無線装置 1 0 A において受信信号プロファイル R S S I 2 を生成するための電波を無線装置 3 0 A のアレーアンテナ 2 0 から無線装置 1 0 A のアンテナ 1 1 へ送信し、かつ、無線装置 1 0 A において電波の強度プロファイル P I 2 k を検出する動作である。そして、所定のデータを構成する電波の無線装置 1 0 A のアンテナ 1 1 から無線装置 3 0 A のアレーアンテナ 2 0 への送信及び所定のデータを構成する電波の無線装置 3 0 A のアレーアンテナ 2 0 から無線装置 1 0 A のアンテナ 1 1 への送信は、アレーアンテナ 2 0 の指向性をパターン P k に従って変えながら交互に行なわれる。つまり、所定のデータを構成する電波は、無線装置 1 0 A のアンテナ 1 1 と無線装置 3 0 A のアレーアンテナ 2 0 との間で時分割通信により送受信される。

20

30

従って、アレーアンテナ 2 0 の指向性をパターン P k に従って変えながら無線装置 1 0 A のアンテナ 1 1 から無線装置 3 0 A のアレーアンテナ 2 0 へ所定のデータを構成する電波を送信し、無線装置 3 0 A において電波の強度プロファイル P I 1 k を検出した直後に、同じ所定のデータを構成する電波を無線装置 3 0 A のアレーアンテナ 2 0 から無線装置 1 0 A のアンテナ 1 1 へ送信し、無線装置 1 0 A において電波の強度プロファイル P I 2 k を検出することができる。その結果、無線装置 1 0 A , 3 0 A 間において同じ伝送路特性を確保して所定のデータを構成する電波を無線装置 1 0 A , 3 0 A 間で送受信でき、電波の可逆性により電波の強度 I 1 1 ~ I 1 n をそれぞれ電波の強度 I 2 1 ~ I 2 n に一致させることができる。そして、無線装置 1 0 A において作成される秘密鍵 K s 1 を無線装置 3 0 において作成される秘密鍵 K s 2 に容易に一致させることができる。

40

また、所定のデータを構成する電波は、無線装置 1 0 A , 3 0 A 間で時分割通信により送受信されるので、電波の干渉を抑制して 1 つのアレーアンテナ 2 0 を介して所定のデータを構成する電波を無線装置 1 0 A , 3 0 A 間で送受信できる。

更に、所定のデータは、所定の通信プロトコルである I E E E 8 0 2 . 1 1 b および I E E E 8 0 2 . 1 1 g に共通な物理層に含めて無線装置 1 0 A , 3 0 A 間で送受信されるので、通信プロトコルが I E E E 8 0 2 . 1 1 b から I E E E 8 0 2 . 1 1 g へ変化して

50

もデータフォーマットを変えずに秘密鍵  $K_{s1}$  ,  $K_{s2}$  を生成できる。

更に、無線装置 30A は、無線装置 10A からの確認応答 (ACK 信号) の受信時および所定のデータの無線装置 10A への送信時、同じパターン  $P_k$  によってアレーアンテナ 20 の指向性を順次変更する (ステップ S25 , S27 参照)。そして、同じパターン  $P_k$  によってアレーアンテナ 20 の指向性を順次変更して無線装置 10A から確認応答 (ACK 信号) を受信する動作 (ステップ S25) および所定のデータを無線装置 10A へ送信する動作 (ステップ S27) は、 $k = m$  になるまで繰返し実行されるので、ステップ S25 , S27 において、パターン  $P_k$  に従ってアレーアンテナ 20 の指向性を順次変更することは、アレーアンテナ 20 の指向性を更新して無線装置 10A から確認応答 (ACK 信号) を受信し、その更新した指向性を維持して所定のデータを無線装置 10A へ送信することに相当する。

10

このように、図 16 に示す方法によって所定のデータを無線装置 10A , 30A 間で送受信することによって所定のデータの再送が繰返されるのを防止し、無線装置 10A , 30A 間における双方向の通信を確保できる。すなわち、無線装置 10A , 30A において同じ秘密鍵  $K_{s1}$  ,  $K_{s2}$  を安定して作成できる。

更に、アレーアンテナ 20 の指向性をパターン  $P_k$  に従って変えながら無線装置 10A , 30A 間で所定のデータを構成する電波を送受信し、秘密鍵  $K_{s1}$  ,  $K_{s2}$  を作成するための受信信号プロファイル  $R_{SSI1}$  ,  $R_{SSI2}$  を生成するので、図 9 に示すようにアレーアンテナ 20 を装着した無線装置 30A の近傍に盗聴装置 50 が配置されていても、盗聴装置 50 による秘密鍵  $K_{s1}$  ,  $K_{s2}$  の盗聴を抑制できる。

20

即ち、盗聴装置 50 は、アンテナ 11 及びアレーアンテナ 20 から送信された電波をアンテナ 51 を介して受信するが、アレーアンテナ 20 は指向性をパターン  $P_k$  に従って変えながら電波を送受信するので、アンテナ 11 とアレーアンテナ 20 との間で送受信される電波は、アンテナ 11 またはアレーアンテナ 20 とアンテナ 51 との間で送受信される電波と異なり、盗聴装置 50 は、無線装置 30A が送受信する電波と同じ電波を送受信できず、電波の強度プロファイル  $P_{I1k}$  と同じ強度プロファイルを得ることができない。その結果、盗聴装置 50 は、秘密鍵  $K_{s1}$  ,  $K_{s2}$  を盗聴することができない。

従って、この発明においては、電氣的に指向性を切換え可能なアレーアンテナ 20 を盗聴装置 50 の近傍に配置された無線装置 30A に装着することを特徴とする。

更に、鍵確認用データ  $DCFM1 \sim 4$  は、秘密鍵  $K_{s1}$  ,  $K_{s2}$  に非可逆的な演算、または一方向的な演算を施して発生されるので、鍵確認用データ  $DCFM1 \sim 4$  が盗聴されても秘密鍵  $K_{s1}$  ,  $K_{s2}$  が解読される危険性を極めて低くできる。

30

更に、シンドローム  $s1$  ,  $s2$  は、秘密鍵  $K_{s1}$  ,  $K_{s2}$  のビットパターンを示す鍵  $x_1$  ,  $x_2$  に検査行列  $H$  の転置行列  $H^T$  を乗算して得られるので、シンドローム  $s1$  ,  $s2$  が盗聴されても直ちに情報のビットパターンが推測されることは特殊な符号化を想定しない限り起こらない。従って、盗聴を抑制して秘密鍵を一致させることができる。

なお、無線装置 10A , 30A 間で通信を行なう動作は、実際には、CPU によって行なわれ、無線装置 10A に搭載された CPU は、図 17 に示す各ステップ S23 , S24 , S28 , S29 , S33 , S34 , S36 , S38 を備えるプログラムを ROM から読出し、無線装置 30A に搭載された CPU は、図 17 に示す各ステップ S21 , S22 , S25 , S26 , S27 , S30 , S31 , S32 , S35 , S37 , S39 を備えるプログラムを ROM から読出し、無線装置 10A , 30A に搭載された 2 つの CPU は、その読出したプログラムを実行して図 17 に示すフローチャートに従って無線装置 10A , 30A 間で通信を行なう。

40

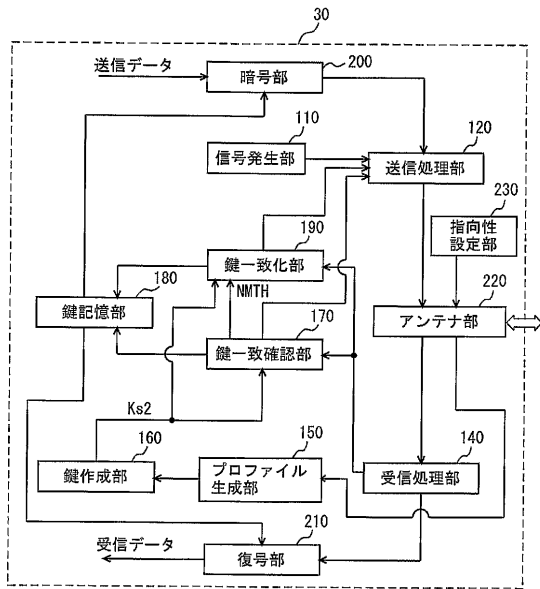
従って、ROM は、無線装置 10A , 30A 間で通信を行なう動作をコンピュータ (CPU) に実行させるためのプログラムを記録したコンピュータ (CPU) 読取り可能な記録媒体に相当する。

そして、図 17 に示す各ステップを備えるプログラムは、アレーアンテナ 20 の指向性を複数個に順次変えて受信した複数の電波に基づいて、無線装置 10A , 30A 間における通信をコンピュータ (CPU) に実行させるプログラムである。

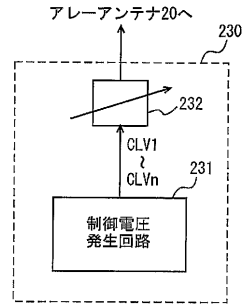
50



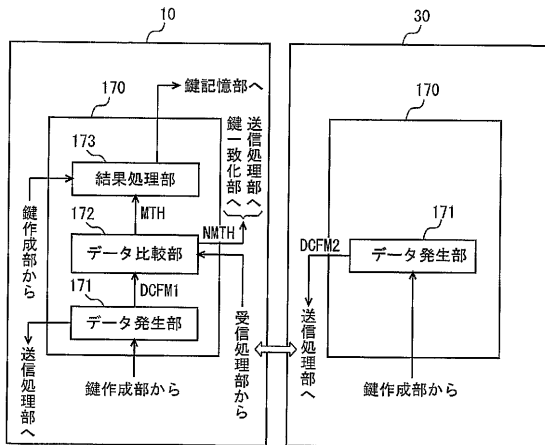
【図3】  
FIG. 3



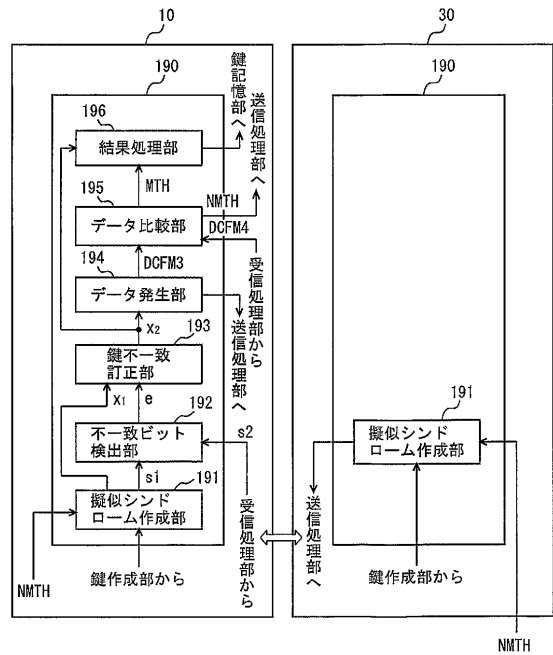
【図4】  
FIG. 4



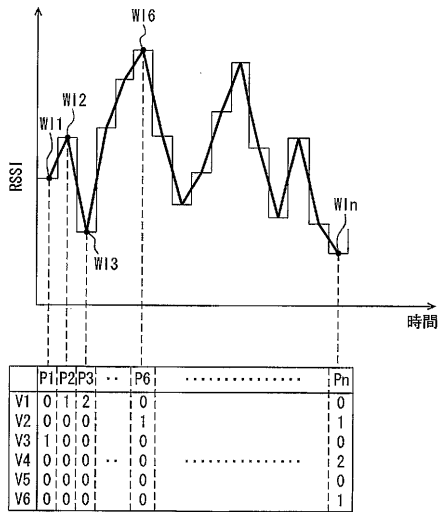
【図5】  
FIG. 5



【図6】  
FIG. 6



【図7】  
FIG. 7



【図8】

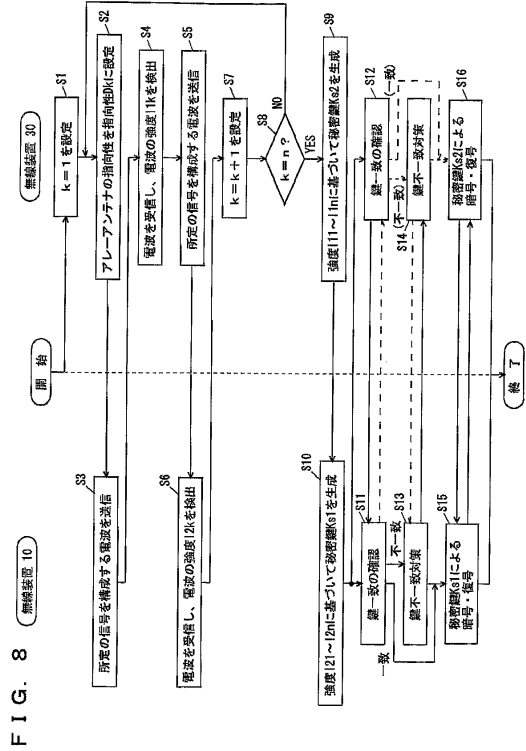
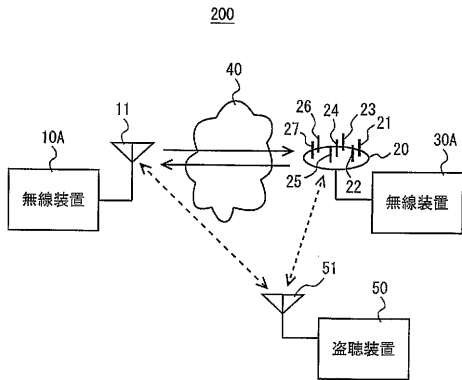
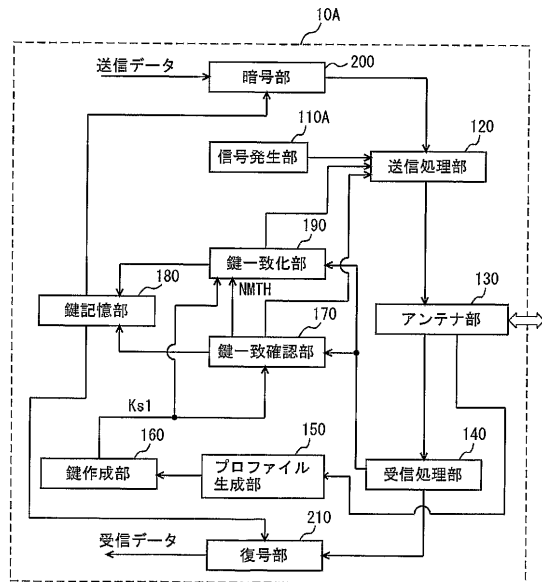


FIG. 8

【図9】  
FIG. 9

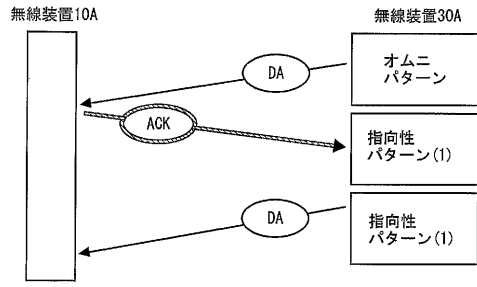


【図10】  
FIG. 10



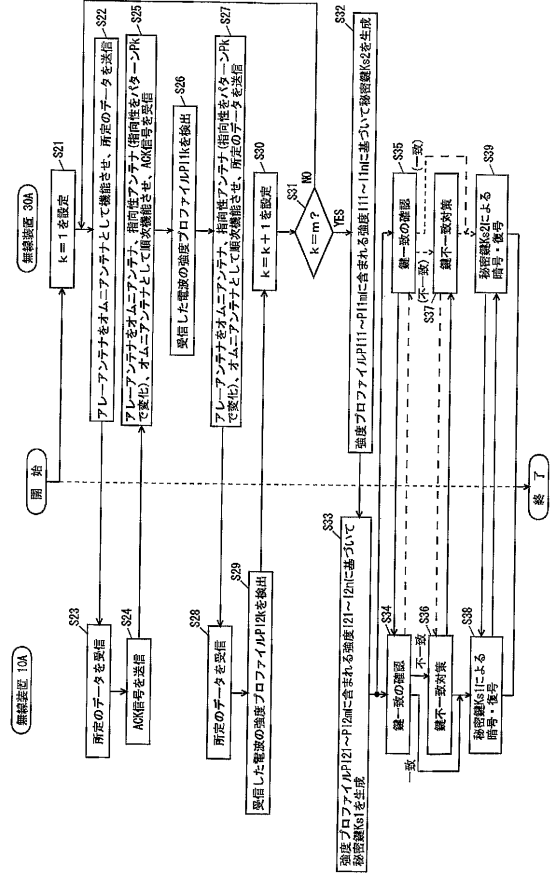


【図16】  
FIG. 16



【図17】

FIG. 17





## フロントページの続き

(出願人による申告)平成16年度独立行政法人情報通信研究機構、研究テーマ「自律分散型無線ネットワークの研究開発」に関する委託研究、産業活力再生特別措置法第30条の適用を受ける特許出願

(72)発明者 大平 孝

京都府相楽郡精華町光台二丁目2番地2 株式会社国際電気通信基礎技術研究所内

審査官 青木 重徳

(56)参考文献 特開2003-018091(JP,A)

国際公開第03/073689(WO,A1)

特開2002-152191(JP,A)

特開2002-189543(JP,A)

特開2001-326630(JP,A)

北浦明人, 笹岡秀一, “陸上移動通信におけるOFDMの伝送路特性に基づく秘密鍵共有方式”, 電子情報通信学会技術研究報告(RCS2003-117~130), 日本, 社団法人電子情報通信学会, 2003年8月15日, Vol.103, No.254, p.23-28

森浩樹, 笹岡秀一, 大平孝, “受信信号強度の空間相関に基づく秘密鍵生成に適したアンテナパターンの検討”, 電子情報通信学会技術研究報告(RCS2003-186~214), 日本, 社団法人電子情報通信学会, 2003年11月14日, Vol.103, No.460, p.47-52

中山清喬, 笹岡秀一, “移動通信における通信路雑音を用いたセキュリティ通信方式の検討”, 2002年電子情報通信学会総合大会講演論文集, 日本, 社団法人電子情報通信学会, 2002年3月7日, 通信1, B-5-73, p.523

(58)調査した分野(Int.Cl., DB名)

H04L 9/08

JSTPlus(JDreamII)

JMEDPlus(JDreamII)

JST7580(JDreamII)